

# I] Polynôme de meilleure approximation

## 1) Cas général

**Def 1:** Soit  $(F, \|\cdot\|)$  un en,  $\|\cdot\|$  est strictement convexe si  $\forall x+y \in F, \|x\| = \|y\| \Rightarrow \forall t \in ]0;1[, \|tx+(1-t)y\| < t\|x\| + (1-t)\|y\|$

**Th 2:** Soient  $(F, \|\cdot\|)$  un en et  $E$  un sev de dimension finie de  $F$   
Alors  $\forall x \in F, \exists x^* \in E / \|x - x^*\| = \inf_{y \in E} \|x - y\|$

De plus, si  $\|\cdot\|$  est strictement convexe, il y a unicité de  $x^*$

**Ex 3:**  $F = \mathbb{R}[X], E = \text{Vect}(X, \dots, X^n), \|\cdot\|$  issue de  $\langle P, Q \rangle = \int_{-1}^1 e^{-x} P(x) Q(x) dx$   
 $\inf_{(a_1, \dots, a_n) \in \mathbb{R}^n} \int_{-1}^1 e^{-x} (1 + a_1 x + \dots + a_n x^n)^2 dx = \inf_{P \in E} \|1 - P\|^2 = \frac{1}{n+1}$

**Def 4:** Soit  $n \in \mathbb{N}, P_n = \left\{ x \mapsto \sum_{k=-n}^n c_k e^{ikx}, c_k \in \mathbb{C} \right\}$   
l'ensemble des polynômes trigonométriques d'ordre  $\leq n$ .

• Soit  $1 \leq p \leq +\infty, L_{2\pi}^p = \left\{ f: \mathbb{R} \rightarrow \mathbb{C}, \text{mesurable, } 2\pi\text{-périodique, } \|f\|_{L_{2\pi}^p} < +\infty \right\}$

avec  $\|f\|_{L_{2\pi}^p} = \left( \frac{1}{2\pi} \int_0^{2\pi} |f(t)|^p dt \right)^{1/p}$  et  $\|f\|_{L_{2\pi}^\infty} = \sup_{t \in \mathbb{R}} |f(t)|$

• Soit  $I \subset \mathbb{R}$  un intervalle, on appelle fonction poids  $p: I \rightarrow \mathbb{R}$  mesurable vérifiant  $\forall n \in \mathbb{N}, \int_I |x|^n p(x) dx < +\infty$

On note  $L^2(I, p) = \left\{ f: I \rightarrow \mathbb{C}, \text{mesurable, } \|f\|_{L^2(I, p)} < +\infty \right\}$

avec  $\|f\|_{L^2(I, p)} = \left( \int_I |f(x)|^2 p(x) dx \right)^{1/2}$

**Cor 5:** Comme  $\forall n \in \mathbb{N}, \forall 1 \leq p \leq +\infty, P_n \subset L_{2\pi}^p, C_n[X] \subset L^2(I, p)$   
et  $\forall K$  compact de  $\mathbb{R}^d, C_n[X_1, \dots, X_d] \subset C(K, \mathbb{C})$  munit de  $\|\cdot\|_{\infty, K}$ ,  
pour toute fonction dans ces espaces, il existe un polynôme  
(trigonométrique) de meilleure approximation d'ordre  $n$ .

**Cor 6:** le cas d'égalité de l'inégalité de Minkowsky pour  $1 < p < +\infty$   
nous donne que  $\|\cdot\|_{L_{2\pi}^p}$  et  $\|\cdot\|_{L^2(I, p)}$  sont strictement convexes  
On a donc unicité du polynôme de meilleure approximation d'ordre  $n$

**Prop 7:** On a également unicité dans  $(\mathcal{E}([0;1]), \mathbb{C}), \|\cdot\|_{L^1([0;1])}$

**Ex 8:** Mais pas dans  $(L^1(E; \mathbb{R}), \|\cdot\|_{L^1(E; \mathbb{R})})$  car si  $f = \begin{cases} -1 & \text{sur } ]-1; 0[ \\ 1 & \text{sur } ]0; 1[ \end{cases}$   
 $\forall x \in ]-1; 1[, P \in \mathcal{P}$  réalise la meilleure approximation par un pol de degré 0

**Def 9:**  $g \in \mathcal{E}([a; b])$  équioscille sur  $(k+1)$  points s'il existe  $x_0 < x_1 < \dots < x_k$  dans  $[a; b] / |g(x_i)| = \|g\|_\infty$  et  $g(x_{i+1}) = -g(x_i)$

**Th 10:** Pour  $f \in \mathcal{E}([0; b]), \|\cdot\|_{L^\infty}$ , le polynôme de meilleure approximation est l'unique polynôme  $P$  de degré  $\leq n$  tel que  $f - P$  équioscille sur au moins  $(n+2)$  points de  $[a; b]$ .

**Ex 11:**  $P \in \mathbb{R}_n[X] / X^{n+1} - P = 2^{-n} T_{n+1}$  si  $T_{n+1}$   $(n+1)$ -ième pol. de Tchebychev  
 $P$  polynôme de meilleure approximation uniforme d'ordre  $n$  de  $X^{n+1}$  sur  $[-1; 1]$

## 2) Cas hilbertien

**Th 12:**  $L^2(I, p)$  munit du produit scalaire  $\langle f, g \rangle = \int_I f \bar{g} p$  est un Hilbert

**Prop 13:** Il existe une unique suite  $(P_n)_{n \in \mathbb{N}}$  de polynômes unitaire, orthogonaux, tels que  $d^0 P_n = n$ .

**Ex 14:** •  $I = ]-\infty; +\infty[, p(x) = e^{-x^2}, P_n = \frac{(-1)^n}{2^n} e^{x^2} (e^{-x^2})^{(n)}$  Pol. Hermite  
•  $I = ]-1; 1[, p(x) = 1, P_n = \frac{n!}{(2n)!} (x^2 - 1)^{(n)}$  Pol. Legendre  
•  $I = ]-1; 1[, p(x) = \frac{1}{\sqrt{1-x^2}}, P_n = 2^{1-n} T_n$  Pol. Tchebychev

**Prop 15:**  $P_n$  possède  $n$  zéros distincts dans  $I$

**Prop 16:**  $\pi_n = \sum_{k=0}^n \frac{\langle f, P_k \rangle}{\|P_k\|_2^2} P_k$  est le pol. de meilleure approx d'ordre  $n$  de  $f$

**Th 17:** S'il existe  $\alpha > 0 / \int_I e^{\alpha|x|} p(x) dx < +\infty, (P_n)_{n \in \mathbb{N}}$  base hilbertienne de  $L^2(I, p)$

**Cor 18:**  $\|f - \pi_n\|_2 \xrightarrow{n \rightarrow +\infty} 0$

[B-P] 158

[OA] 42

[CA] 21

[DA] 40

42

(1)

[OA] 110

[DA] 51

[OA] 111

[DA] 52

[OA] 111

112

[OA] 109

[01] 141

C-Ex 19:  $\mathbb{I} = ]0; +\infty[$ ,  $p(x) = x^{-k}(x)$

II] Approximation en norme  $\|\cdot\|_{L^p}$

1) Généralités

[600] 256

Rq 20: Soit  $P = \sum_{k=-n}^n c_k e_k \in P_n$  avec  $c_k \in \mathbb{C}$  et  $e_k: x \mapsto e^{ikx}$

• Si  $\forall k \in [0; n]$ ,  $a_k = c_k + c_{-k}$  et  $b_k = i(c_k - c_{-k})$ , on a  $\forall x \in \mathbb{R}$

$$P(x) = \frac{a_0}{2} + \sum_{k=1}^n a_k \cos(kx) + b_k \sin(kx)$$

•  $P \in C_{2\pi}(\mathbb{R}, \mathbb{C})$  et  $\forall k \in [1; n]$ ,  $c_k = \frac{1}{2\pi} \int_0^{2\pi} P(t) e^{-ikt} dt$

Def 21: Soit  $f \in L^1_{2\pi}$ ,  $\forall k \in \mathbb{Z}$ ,  $c_k(f) = \frac{1}{2\pi} \int_0^{2\pi} f(t) e^{-ikt} dt$

$$\forall n \in \mathbb{N}, S_n(f) = \sum_{k=-n}^n c_k(f) e_k$$

[600] 261

Ex 22:  $f$  paire,  $2\pi$ -périodique, tq  $f(x) = 1 - \frac{x^2}{\pi^2}$  sur  $[-\pi; \pi]$   
 $b_k(f) = 0$ ,  $a_0(f) = \frac{4}{3}$  et  $a_k(f) = (-1)^{k+1} \frac{4}{\pi^2 k^2}$

[200] 71 -73

Lemme 23: (Riemann-Lebesgue)  $f \in L^1_{2\pi}$ ,  $\lim_{|k| \rightarrow +\infty} c_k(f) = \lim_{k \rightarrow +\infty} a_k(f) = \lim_{k \rightarrow +\infty} b_k(f) = 0$

Def 24:  $f, g \in L^1_{2\pi}$ ,  $(f * g)(x) = \frac{1}{2\pi} \int_0^{2\pi} f(x-t)g(t) dt$

Rq 25:  $\forall k \in \mathbb{Z}$ ,  $f * e_k = c_k(f) e_k$

2) Convergence au sens de Cesàro

[200] 75 -77

Def 26: •  $D_n = \sum_{k=-n}^n e_k$  Noyau de Dirichlet

•  $K_n = \frac{1}{n} \sum_{k=-n}^n D_k$  Noyau de Fejér

• Soit  $f \in L^1_{2\pi}$ ,  $\sigma_n(f) = \frac{1}{n} \sum_{k=0}^{n-1} S_k(f)$  Somme de Fejér ou Cesàro

Rq 27:  $S_n(f) = f * D_n$  et  $\sigma_n(f) = f * K_n$

Prop 28:  $(K_n)_{n \in \mathbb{N}}$  est une approximation de l'unité, c'est à dire:

•  $K_n \geq 0$  •  $\|K_n\|_1 = 1$  •  $\forall \epsilon \in ]0; \pi[$ ,  $\lim_{n \rightarrow +\infty} \int_{\epsilon < |x| < \pi} K_n(x) dx = 0$

Th 29 (Fejér) Soit  $f \in L^1_{2\pi}$ ,  $1 \leq p < +\infty$ ,  $\|a_n(f)\|_p \leq \|f\|_p$  et  $\|\sigma_n(f) - f\|_p \xrightarrow{n \rightarrow +\infty} 0$

Rq 30:  $\sigma_n(f) = \sum_{k=-n}^n (1 - \frac{|k|}{n}) c_k(f) e_k \in P_n$

Cor 31:  $\|\sigma_n(f) - f\|_2 \xrightarrow{n \rightarrow +\infty} 0$  et  $(e_k)_{k \in \mathbb{Z}}$  est une base hilbertienne de  $L^2_{2\pi}$  muni de  $\langle f, g \rangle = \frac{1}{2\pi} \int_0^{2\pi} f \bar{g}$

III] Approximation d'une fonction régulière

1) Cas d'une fonction périodique

a) Convergence simple

Th 32: (Jordan-Dirichlet) Soit  $f: \mathbb{R} \rightarrow \mathbb{C}$ ,  $2\pi$ -périodique,  $E_m$  et  $x \in \mathbb{R} \setminus h \mapsto \frac{f(x+h) + f(x-h) - f(x) - f(x-h)}{2}$  soit bornée au voisinage de 0, alors  $S_n(f)(x) \xrightarrow{n \rightarrow +\infty} \frac{f(x+) + f(x-)}{2}$

Ex 33: Soit  $E \subset ]0; \pi[$ ,  $f = \begin{cases} 1 & \text{si } ||x| \leq \epsilon \\ 0 & \text{si } \epsilon < |x| \leq \pi \end{cases}$   $2\pi$ -périodique

En particulier,  $\forall 0 < a < 2\pi$ ,  $\frac{\pi - a}{2} = \sum_{k=1}^{+\infty} \frac{\sin(ka)}{k}$

Cor 34: (Dirichlet) Soit  $f \in C^1_m$ ,  $2\pi$ -périodique, alors  $\forall x \in \mathbb{R}$ ,  $S_n(f)(x) \xrightarrow{n \rightarrow +\infty} \frac{f(x+) + f(x-)}{2}$

C-Ex 35: Il existe  $f \in C^1_{2\pi}(\mathbb{R}, \mathbb{C})$  /  $\sup_{n > 1} |S_n(f)(0)| = +\infty$

b) Convergence uniforme

Th 36: (Fejér) Soit  $f \in C^0_{2\pi}(\mathbb{R}, \mathbb{C})$ ,  $\|a_n(f)\|_\infty \leq \|f\|_\infty$  et  $\|\sigma_n(f) - f\|_\infty \xrightarrow{n \rightarrow +\infty} 0$

Cor 37: (Weierstrass trig)  $\forall f \in C^0_{2\pi}(\mathbb{R}, \mathbb{C})$ ,  $\forall \epsilon > 0$ ,  $\exists n$  et  $P \in P_n$  /  $\|P - f\|_\infty \leq \epsilon$

Application 38: (Weyl) Soit  $(U_n)_{n \in \mathbb{N}} \in [0; 1]^{\mathbb{N}}$ ,  $a_n \leq b_n \leq 1$

$X_n(a, b) = \#\{k \in [1; n], U_k \in [a; b]\}$ , on a l'équivalence:

i)  $\frac{X_n(a, b)}{n} \rightarrow b - a$ ,  $\forall (a, b)$  (suite équirépartie)

ii)  $\forall f \in C([0; 1], \mathbb{R})$ ,  $\lim_{n \rightarrow +\infty} \frac{1}{n} \sum_{k=1}^n f(U_k) = \int_0^1 f(t) dt$

iii)  $\forall p \in \mathbb{N}^*$ ,  $\lim_{n \rightarrow +\infty} \frac{1}{n} \sum_{k=1}^n e^{2i\pi p U_k} = 0$

[200] 84 -86

[600] 260

(2)

[200] 91

[600] 261

[200] 82

[200] 84 -86

[XIV] An. 1 47

c) Convergence normale

[Geo] 267 Th 39: Soit  $f \in \mathcal{C}^0_{2\pi}(\mathbb{R}, \mathbb{C})$ ,  $E'_m$ , alors  $S_n(f)$  converge normalement vers  $f$

[ANAL] Ann 4 Application 40: (eq. chaleur)  $u_0: \mathbb{R} \rightarrow \mathbb{R}$ ,  $\mathcal{E}^0_{2\pi}$ ,  $\mathcal{E}^1_m$

49  $\exists! u: \mathbb{R} \times \mathbb{R} \rightarrow \mathbb{R}$ ,  $\mathcal{E}^0$ ,  $\mathcal{E}^\infty$  sur  $\mathbb{R}^*_+ \times \mathbb{R}$  et  $\forall t \geq 0, x \in \mathbb{R} \rightarrow u(t, x)$  est périodique  
 Solution de  $\begin{cases} \frac{\partial u}{\partial t} = \frac{\partial^2 u}{\partial x^2} \end{cases}$  et  $\forall x \in \mathbb{R}, u(0, x) = u_0(x)$

[20] 38 Prop 41: Soit  $f \in \mathcal{E}^0_{2\pi}(\mathbb{R}, \mathbb{C})$ ,  $f \in \mathcal{E}^p \Rightarrow \lim_{|n| \rightarrow \infty} n^p c_k(f) = 0$

Ex 42:  $f \in \mathcal{E}^0_{2\pi}(\mathbb{R}, \mathbb{C})$ ,  $f \in \mathcal{E}^p$ ,  $p \geq 2$ ,  $\|S_n(f) - f\|_\infty \leq C \times \frac{1}{p-1} \times \frac{1}{n^{p-1}}$

2) Cas d'une fonction définie sur un compact

[20] 518 Th 43: (Bernstein) Soit  $f \in \mathcal{C}^0([0, 1], \mathbb{C})$ ,  $\omega(h) = \sup\{|f(x) - f(y)|; |x - y| \leq h\}$

$B_n := \sum_{k=0}^n \binom{n}{k} x^k (1-x)^{n-k} f(\frac{k}{n})$ , alors  $\exists c > 0$  [DVPT]  
 $\|B_n - f\|_\infty \leq C \omega(\frac{1}{\sqrt{n}}) \rightarrow 0$

[20] 88 Rq 44: • Cette estimation est optimale:  $\exists f \in \text{Lip}([0, 1], \mathbb{C})$ ,  $\exists \delta > 0 / \|B_n(f) - f\|_\infty \geq \frac{\delta}{\sqrt{n}}$   
 •  $P_n := C_0(f) + 2 \sum_{k=1}^n (1 - \frac{k}{n}) C_k(f) T_k$  où  $T_k$  k-ème pol de Tchebychev, converge uniformément vers  $f$  grâce à Fejér.

[Geo] 283 Application 45: (Hardy-Littlewood) Soit  $(b_n)_{n \in \mathbb{N}} \in \mathbb{R}^{\mathbb{N}} / b_n = O(\frac{1}{n})$   
 et  $\lim_{x \rightarrow 1^-} \sum_{n=0}^{\infty} b_n x^n = l \in \mathbb{R}$ , alors  $\sum b_n$  converge, sa somme vaut  $l$

[HL] 30 Th 46: (Weierstrass)  $\mathcal{C}[x_1, \dots, x_d]$  dense dans  $(\mathcal{C}(K, \mathbb{C}), \|\cdot\|_{\infty, K})$ ,  $K$  compact de  $\mathbb{R}^d$

[CL] 173 Application 46: (Brouwer)  $B$  boule unité de  $\mathbb{R}^d$ ,  $f: B \rightarrow B$  continue, alors  $f$  admet un point fixe

[Geo] 74 Th 47: (Taylor-Lagrange)  
 Soit  $f \in \mathcal{E}^n([a, b], \mathbb{C})$ ,  $(n+1)$ -fois dérivable sur  $]a, b[$ .  
 S'il existe  $M > 0, \forall t \in ]a, b[, |f^{(n+1)}(t)| \leq M$ , alors  
 $|f(b) - \sum_{k=0}^n \frac{f^{(k)}(a)}{k!} (b-a)^k| \leq M \frac{(b-a)^{n+1}}{(n+1)!}$

IV | Approximation d'une fonction numérique

1) Méthodes d'interpolation

[DE] 22 Th 48: Soit  $f \in \mathcal{C}([a, b], \mathbb{R})$ ,  $x_0, x_1, \dots, x_n \in [a, b]$   $n \geq 2$  distincts

$\exists! P_n \in \mathbb{R}_n[X] / P_n(x_i) = f(x_i), \forall i$ . Il est caractérisé par  
 $P_n = \sum_{i=0}^n f(x_i) l_i$  où  $l_i = \prod_{j \neq i} \frac{(x - x_j)}{(x_i - x_j)}$  (pol d'interpolation de Lagrange)

Th 49: Soit  $f$   $(n+1)$  fois dérivable sur  $[a, b]$ , alors

$\|P_n - f\|_\infty \leq \frac{1}{(n+1)!} \|f^{(n+1)}\|_\infty \prod_{i=0}^n (x - x_i)$

Rq 50: L'erreur d'interpolation dépend de la répartition des points d'interpolation ( $\| \prod_{i=0}^n (x - x_i) \|_\infty$ ) et des oscillations de  $f$  ( $\|f^{(n+1)}\|_\infty$ )

[DE] 46 Def 51:  $L_n: \mathcal{C}([a, b], \mathbb{R}) \rightarrow \mathbb{R}_n[X]$  opérateur d'interpolation de Lagrange  
 $f \mapsto P_n$

Prop 52:  $\Lambda_n := \|L_n\| = \sup_{x \in [a, b]} (\sum_{i=0}^n |l_i(x)|)$  constante de Lebesgue

$\|L_n(f) - f\|_\infty \leq (1 + \Lambda_n) d(f, \mathbb{R}_n[X])$

Prop 53: • Points équirépartis:  $\Lambda_n \sim \frac{2^{n+1}}{e n \ln(n)}$

• Points Tchebychev:  $\Lambda_n \sim \frac{2}{\pi} \ln(n)$

Cor 54: Si  $f \in \text{Lip}([a, b], \mathbb{R})$ ,  $\|L_n(f) - f\|_\infty \xrightarrow{n \rightarrow \infty} 0$  pour points de Tchebychev

Ex 55: Phénomène de Runge (cf Annexe 3)

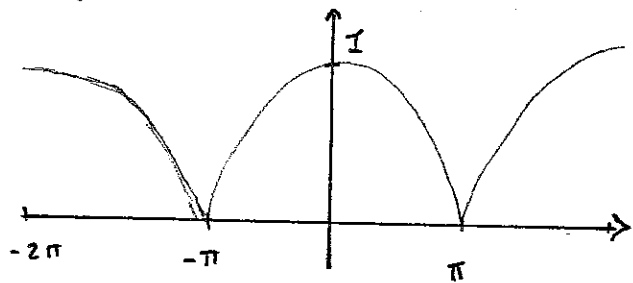
2) Méthodes d'intégration

[DE] 62 Def 56: Soit  $f \in \mathcal{C}([1, 1], \mathbb{R})$ ,  $P_n = \sum_{i=0}^n f(x_i) l_i$  où  $x_i$  équirépartis ds  $[1, 1]$

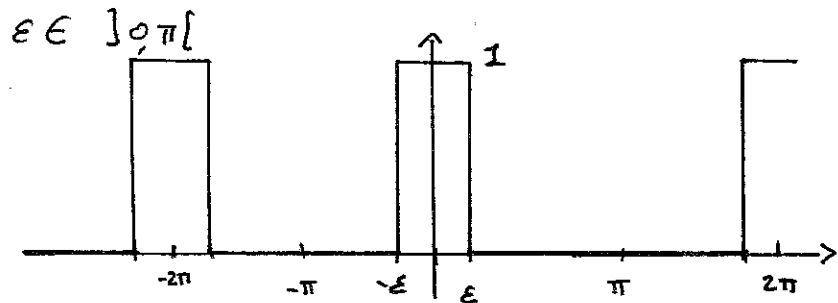
Méthode de Newton-Cotes de rang  $n$ :  
 $\int_{-1}^1 f(x) dx \approx \int_{-1}^1 P_n(x) dx = \sum_{i=0}^n w_i f(x_i)$  où  $w_i = \int_{-1}^1 l_i(x) dx$

Annexe 1.

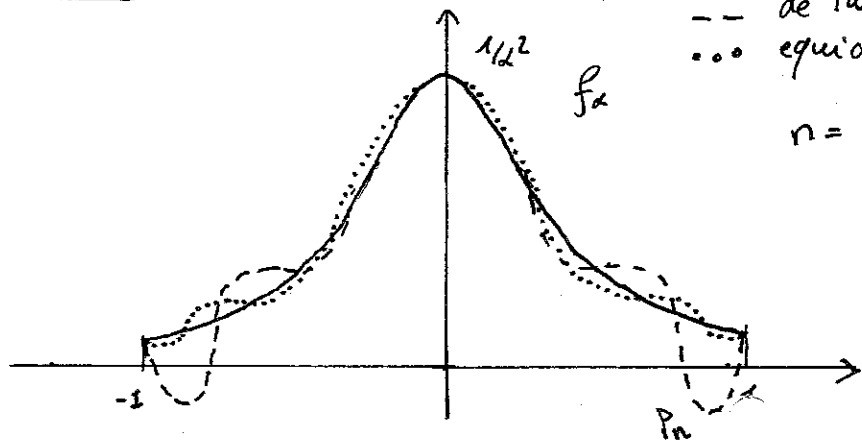
$f$  paire  $2\pi$ -périodique  
 $f(x) = 1 - \frac{x^2}{\pi^2}$  sur  $[-\pi, \pi]$



Annexe 2. Fonction Crénneau.



Annexe 3. Phénomène de Runge.



-- de Tchebychev  
 ... équidistants  
 $n = 6$

Prop 57: Si  $n$  pair, méthode d'ordre  $n+1$  (exacte  $\forall f \in \mathbb{R}_{n+1}[X]$ )  
 $n$  impair, " " " " "

[DEM] 63

Rq 58: On peut se poser le problème inverse de trouver  $w_i$  et  $x_i$  tels que la méthode (dite de Gauss)  $\int_a^b f(x) p_n(x) dx \approx \sum_{i=0}^n w_i f(x_i)$  soit d'ordre maximal

[DEM] 73

Th 59: Les racines du  $(n+1)$ -ème polynôme orthogonal  $(x_0, \dots, x_n)$  et les coefficients  $w_i = \int_a^b p_i(x) p_n(x) dx$ , où  $h_i = \prod_{j \neq i} \frac{x_i - x_j}{x_i - x_j}$ , sont les seuls paramètres permettant d'avoir une méthode d'ordre maximal égal à  $2n+1$ .

Références:

- [O-A] Objectif Agégation.
- [X-Ens] oraux X-Ens, Algèbre 3, Analyse 2-4
- [GOU] X. Gourdon, Analyse
- [Z-Q] Zuilly-Queffelec. Analyse pour l'agégation
- [B-P] Briane-Pagès. Théorie de l'intégration
- [C-N] N. Couzeix-Al. Rignot. Analyse numérique des équations différentielles.
- [PEN] J.P. Demailly. Analyse numérique et Equ. diff.
- [H-L] F. Hirsch, G. Lacombe. Éléments d'analyse fonctionnelle.
- [C-L] A. Lambert-Leir, S. Fermigier, Analyse 3. Exercices de Math pour l'agégation